

SnO₂ 후막소자의 감도특성에 미치는 SiO₂의 영향

손종락[†] · 조성국 · 박효덕* · 이덕동*

경북대학교 공과대학 공업화학과, *전자공학과
(1993년 8월 13일 접수, 1994년 5월 16일 채택)

Effect of SiO₂ on Sensing Characteristics of SnO₂-Based Thick Film Devices

Jong Rack Sohn[†], Sung Guk Cho, Hyo Derk Park* and Duk-Dong Lee*

Dept. of Industrial Chemistry, *Dept. of Electronics, College of Engineering,
Kyungpook National University, Taegu 702-701, Korea
(Received 13 August 1993; accepted 16 May 1994)

요 약

침적법, sputtering법 및 분말첨가법으로 SiO₂가 첨가된 SnO₂/Al₂O₃/Nb₂O₅ 후막소자를 제조하고 CH₃CN 증기에 대한 감지특성을 연구하였다. 이 중에서 Si(C₂H₅O)₄ 용액의 침적법으로 제조된 소자가 가장 좋은 감도와 선택성을 나타내었다. 적외선 스펙트라를 분석한 결과 SiO₂가 첨가되지 않은 SnO₂/Al₂O₃/Nb₂O₅ 후막소자상에서의 CH₃CN의 산화반응에 의한 생성물은 주로 CO₂, H₂O 및 NH₃였으며 SiO₂가 첨가된 SnO₂/Al₂O₃/Nb₂O₅ 소자상에서는 CO₂, H₂O, N₂O, HNO₃ 및 HNO₂가 관찰되었다. CH₃CN의 산화반응으로 생성된 질소화합물의 존재로 SiO₂가 첨가된 후막소자는 CH₃CN 증가에 대하여 높은 선택성과 부감응을 나타내었다. Nb₂O₅의 최적 첨가량은 1.0 wt%였으며 최적 동작온도는 300°C였다.

Abstract—The SnO₂/Al₂O₃/Nb₂O₅ thick film devices added with SiO₂ were fabricated by dipping, sputtering and addition of SiO₂ powder, and the sensing characteristics to CH₃CN vapor was investigated. Among them, the device fabricated by dipping of Si(C₂H₅O)₄ solution showed high sensitivity and selectivity to CH₃CN vapor. From the results of infrared spectra, the products formed by the oxidation reaction of CH₃CN on the SnO₂/Al₂O₃/Nb₂O₅ thick film devices without addition of SiO₂ were found to be mainly CO₂, H₂O and NH₃, while on the SnO₂/Al₂O₃/Nb₂O₅ added with SiO₂, products such as CO₂, H₂O, N₂O, HNO₃ and HNO₂ were observed. The thick film devices added with SiO₂ showed high selectivity and negative sensitivity to CH₃CN vapor by means of the presence of nitrogen compounds produced through the oxidation reaction of CH₃CN. Optimum amount of Nb₂O₅ and operating temperature were 1.0 wt% and 300°C, respectively.

1. 서 론

공기중에 존재하는 저농도의 환원성 가스와 유독성 가스를 감지하고자 하는 연구가 SnO₂를 모물질로 하여 다각도로 이루어지고 있다[1-4]. n-형 반도체인 SnO₂는

표면에 흡착된 산소가 CO나 탄화수소 등의 환원성 가스와 반응하여 금속산화물의 전기전도도를 변화시키는 것으로 알려져 있다[5-7].

그러나 SnO₂ 그 자체만으로는 각종 가스에 대한 감지 선택성이 낮기 때문에 다양한 첨가제를 사용함으로써

빠른 응답속도를 가지고 감도와 선택성을 높이는 연구가 많이 이루어져 왔다[8-11]. Acetonitrile(CH_3CN)은 향기가 나는 무색 액체이나 40 ppm 정도의 미량흡입으로 중추신경, 소화기, 피부 등 인체에 강한 독성을 나타내는 유독성 물질로 알려져 있다[12]. 따라서 저농도의 acetonitrile을 선택적으로 감지할 수 있는 소자개발에 많은 흥미를 가지고 있다. 본 연구자들은 독성가스의 일종인 acetonitrile에 대하여 높은 선택성을 갖는 Pd과 Nb_2O_5 를 첨가제로 사용한 SnO_2 소자에 대한 감지특성을 보고하였다[13, 14].

본 연구에서는 acetonitrile에 대하여 높은 감도와 높은 선택성을 갖는 감지소자를 제조하기 위하여 $\text{SnO}_2/\text{Al}_2\text{O}_3/\text{Nb}_2\text{O}_5$ 후막소자를 tetraethyl orthosilicate[TEOS, $\text{Si}(\text{OC}_2\text{H}_5)_4$]에 침적시키거나, sputtering법 및 분말첨가법으로 SiO_2 를 첨가하였다. 그리고 SiO_2 의 첨가에 따른 감지소자의 감지특성을 측정하고 소자표면에서 acetonitrile의 반응으로 인한 생성물이 감지특성에 미치는 영향을 조사하였다.

2. 실험

Fig. 1은 후막형 acetonitrile 감지소자의 제조공정도를 나타낸 것이다. Acetonitrile 감지소자는 $\text{SnO}_2/\text{Al}_2\text{O}_3(10 \text{ wt\%})/\text{Nb}_2\text{O}_5(1.0 \text{ wt\%})$ 혼합분말을(각각 Aldrich사, 순도 99.9%) 600°C에서 1시간 동안 하소한 후, agate mortar를 사용하여 2시간 동안 분쇄하였다. 이를 알루미나 기판 위에 screen printing법으로 후막을 제조한 후 SiO_2 를 첨가할 목적으로 tetraethyl orthosilicate[$\text{Si}(\text{OC}_2\text{H}_5)_4$] 용액에 침적시켰다. 4 mm × 4 mm × 0.2 mm의 알루미나 기판 위에 프린팅된 후막의 두께는 100 μm였으며[12], 700°C에서 1시간 소성하였다. 그리고 분말법과 sputtering법으로도 SiO_2 를 첨가하였다. SiO_2 분말을 첨가하는 방법은 SnO_2 , 10.0 wt%의 Al_2O_3 , 1.0 wt%의 Nb_2O_5 및 5.0-40.0 wt%의 SiO_2 분말을 알루미나 볼(3Φ+5Φ+10Φ)로 혼합 및 분쇄함으로 수행되었다. RF(Radio Frequency) sputtering법에 의한 SiO_2 의 첨가는 $\text{SnO}_2/\text{Al}_2\text{O}_3/\text{Nb}_2\text{O}_5$ 후막을 알루미나 기판 위에 형성시킨 후 SiO_2 타겟을 스퍼터하여 2000-8000 Å 두께로 증착함으로 수행되었다.

후막표면의 원소조성 및 깊이 분포는 Perkin사의 AES(Auger Electron Spectroscopy)로 분석하였으며, 표면적은 B.E.T.법으로 -196°C에서 N_2 기체를 흡착하여 측정하였다. Acetonitrile의 산화반응온도와 생성물의 분석은 석영으로 제조된 가열용 적외선 gas cell[13]을 사용하여 수행되었다. 알루미나 기판 위에 제조된 후막 소자를 적외선 gas cell내에 고정시킨 후 acetonitrile 중

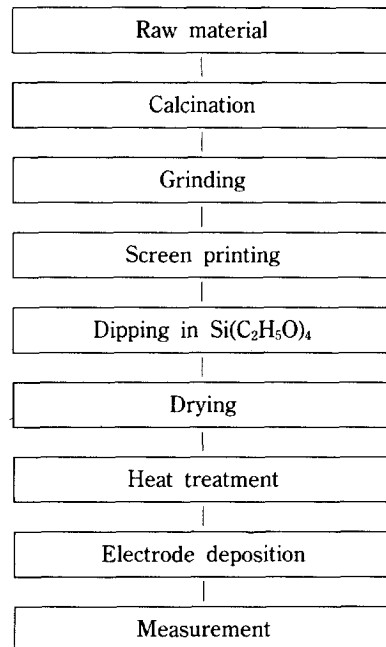


Fig. 1. Fabrication flow chart of thick film sensor.

기를 넣어 가열반응시켰다. Mattson Galaxy-6030E FTIR spectrometer를 사용하여 4000-400 cm^{-1} 범위에서 얻어진 적외선 흡수 스펙트라로부터 acetonitrile의 산화반응 생성물을 분석하였다.

감지소자의 감응특성은 감지소자와 부하저항을 직렬로 연결한 후 부하저항 양단의 전압강하를 측정하여 감지소자의 저항값을 구하였다[13]. 이 때 감응특성은 다음과 같이 저항비로 표시하였다.

$$R = \frac{R_{aceln}}{R_{air}}$$

여기서 R_{air} 는 공기중에서 소자의 저항값이고, R_{aceln} 은 acetonitrile 가스 주입 후 소자의 저항값이다. 저항비가 1보다 큰 것은 소자의 전기전도도가 감소하고 저항은 증가하는 부감응특성을 나타내는 것이고 1보다 작은 것은 전기전도도가 증가하고 저항은 감소하는 정감응특성을 나타내는 것이다.

3. 결과 및 고찰

3-1. 침적법으로 제조한 감지소자의 표면분석

Fig. 2는 위와 같은 후막의 AES 깊이 분포도이다. 후막 표면에 나타난 각 원소의 함량은 O, Sn, Si, Al 및 Nb의 순으로 나타났으며 Si가 표면 뿐만 아니라 후막

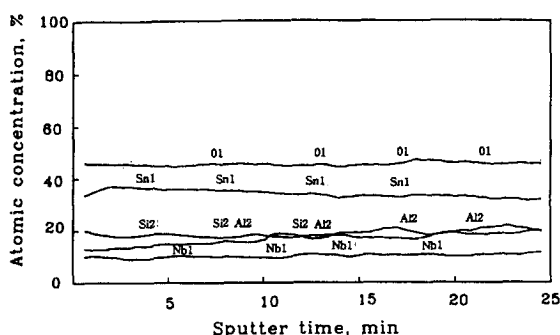


Fig. 2. AES depth profile of SnO₂/Al₂O₃/Nb₂O₅/SiO₂(dipping method) sensing device.

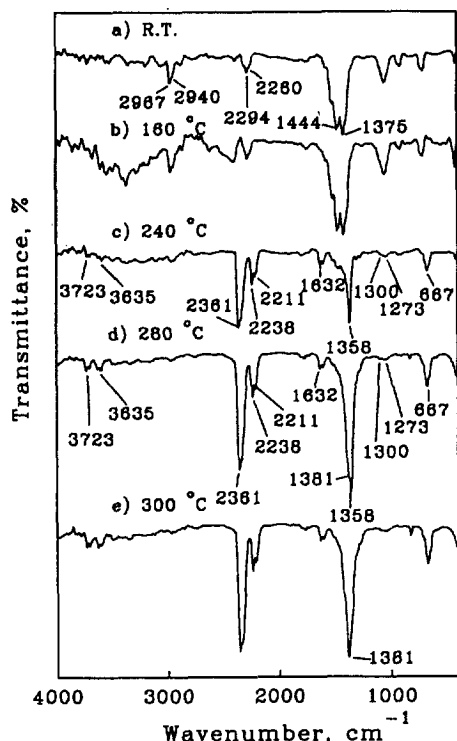


Fig. 3. Infrared spectra after oxidation reaction of CH₃-CN on SnO₂/Al₂O₃/Nb₂O₅/SiO₂(dipping method) for 30 min at various temperatures.

내에 균일하게 분포되어 있음을 알 수 있다. 한편 표면의 AES 스펙트라로부터 원소 각각의 kinetic energy 값이 AES 표준값과 일치함도 확인하였다.

3-2. 적외선 스펙트라에 의한 산화생성물의 분석

SiO₂가 첨가된 SnO₂/Al₂O₃(10 wt%)/Nb₂O₅(1.0 wt%) 후막상에서 acetonitrile의 산화반응 생성물을 규명하기

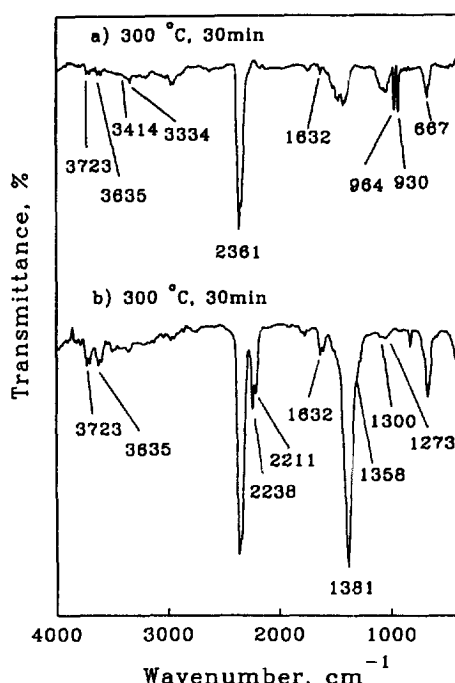
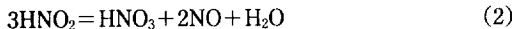


Fig. 4. Infrared spectra after oxidation reaction of CH₃-CN on SnO₂/Al₂O₃/Nb₂O₅(a) and SnO₂/Al₂O₃/Nb₂O₅/SiO₂(dipping method) (b) at 300°C for 30 min.

위하여 적외선 흡수스펙트럼을 얻어 비교하였다. Fig. 3은 침적법으로 SiO₂를 첨가한 SnO₂/Al₂O₃/Nb₂O₅ 후막 소자를 고정시킨 후 적외선 gas cell내에 acetonitrile 20 torr와 공기 300 torr를 넣어 각 온도별로 30분씩 가열한 후 측정한 적외선 스펙트라이다. a는 실온에서 측정한 것으로 2967, 2940 cm⁻¹에서 acetonitrile의 C-H 신축 진동에 의한 band를 2294 및 2260 cm⁻¹에서 CN기에 의한 흡수 band를, 그리고 1444 및 1375 cm⁻¹에서 CH₃ deformation band를 관찰할 수 있다[15]. b는 160°C에서 30분 가열한 후 측정한 적외선 스펙트럼으로 별 다른 생성물이 관찰되지 않았다. c는 240°C에서 가열한 후 측정한 것으로 3723, 3635 및 1632 cm⁻¹에 물에 의한 흡수 band와 2238, 2211(doublet), 1300, 1273(doublet) cm⁻¹에서 N₂O에 의한 흡수 band[16] 그리고 2361과 667 cm⁻¹에서 CO₂에 의한 흡수 band를 관찰할 수 있다. 280°C에서 가열한 후 측정한 스펙트럼(d)과 300°C에서 가열한 후 측정한 스펙트럼(e)에서도 스펙트럼(c)와 같은 흡수 band를 관찰할 수 있었다. 그리고 240°C(c) 및 280°C(d)에서 1381 및 1358 cm⁻¹에 나타나는 흡수 band는 반응식 (1)과 같이 생성된 NO₂가 H₂O와의 반응으로 생성된 HNO₃ 및 HNO₂의 NO₃⁻ 및 NO₂⁻기에 의한 것으로 생각된다.



일반적으로 NO_3^- 및 NO_2^- 기의 흡수 band는 1381 및 1358 cm^{-1} 부근에 각각 나타난다[17]. e는 300°C 에서 가열한 후 측정한 것으로 1358 cm^{-1} 의 band의 intensity가 많이 감소되고 대신 1381 cm^{-1} 의 band가 증가된 것을 볼 수 있다. 이는 높은 온도에서 HNO_2 가 불안정하여 (2)식과 같이 HNO_3 로 되기 때문으로 생각된다 [18].



대체적으로 가열온도가 높아질수록 CO_2 , H_2O , N_2O 및 NO_3^- 기에 의한 peak의 intensity가 증가하여 나타났다.

Fig. 4는 SiO_2 첨가 유무에 따른 acetonitrile 산화반응 생성물을 비교한 적외선 스펙트라이다. a는 SiO_2 가 첨가되지 않은 $\text{SnO}_2/\text{Al}_2\text{O}_3/\text{Nb}_2\text{O}_5$ 후막소자를 적외선 gas cell내에 고정시킨 후 acetonitrile 20 torr와 공기 300 torr를 넣어 300°C 에서 30분 가열시킨 후 측정한 적외선 스펙트럼이다. H_2O 에 의한 흡수 band가 3723 , 3635 및 1632 cm^{-1} 에서, CO_2 에 의한 흡수 band가 2361 과 667 cm^{-1} 에서, NH_3 에 의한 흡수 band가 3414 , 3334 및 964 , 930 (doublet) cm^{-1} 에서 나타났다. b는 침적법으로 SiO_2 를 첨가한 후막소자상에서 acetonitrile을 30분 반응시킨 후의 것으로 CO_2 와 H_2O 에 의한 흡수 band가 나타나는 것은 a와 같으나 ammonia에 의한 흡수 band가 나타나지 않았다. 그리고 2238 , 2211 (doublet), 1300 , 1273 (doublet) cm^{-1} 에서 N_2O 에 의한 흡수 band가 나타나고 NO_2 와 H_2O 에 의해 생성된 NO_3^- 및 NO_2^- 기에 의한 흡수 band가 1381 과 1358 cm^{-1} 에서 각각 나타나고 있다. 이와 같이 SiO_2 가 첨가된 소자상에서 acetonitrile의 산화반응시 NH_3 가 관찰되지 않은 것은 NH_3 가 생성되지 않기 때문이 아니라 생성된 NH_3 가 다시 산화되어 N_2O 와 H_2O 로 되어버리기 때문이다. 이 결론은 뒤에 나오는 Fig. 5(c)에서 보는 바와 같이 SiO_2 가 첨가된 소자에서는 300°C 에서 NH_3 가 대부분 N_2O 로 변한 사실로부터 명백하다.

지금까지의 적외선 스펙트라의 결과를 종합하여 보면 SiO_2 를 첨가하지 않았을 때는 NH_3 , CO_2 및 H_2O 등이 주 산화생성물이어서 후막소자의 전기전도도를 증가시키는 종만이 나타났다. 그러나 SiO_2 가 첨가되었을 때는 전기전도도를 증가시키는 종인 CO_2 및 H_2O 와 전기전도도를 감소시키는 종인 N_2O , HNO_3 및 HNO_2 가 동시에 생성되고 있다. 결국 후막소자의 전기전도도는 상반되는 성질을 가진 산화생성물의 양과 흡착능에 의해 결정되리라 예상된다.

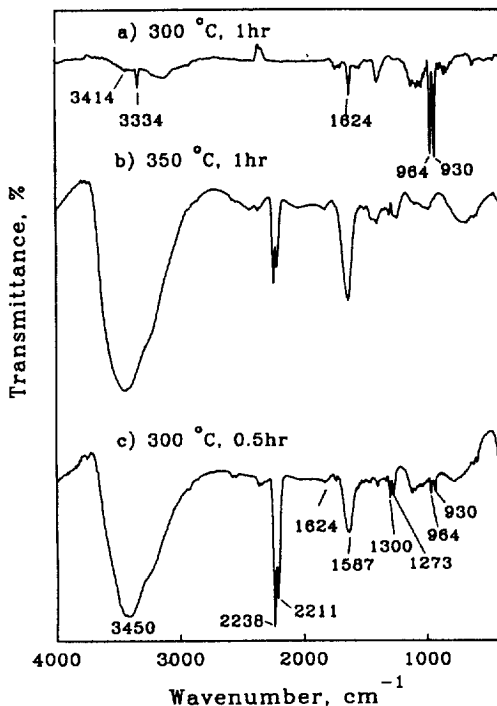


Fig. 5. Infrared spectra after oxidation reaction of NH_3 on $\text{SnO}_2/\text{Al}_2\text{O}_3/\text{Nb}_2\text{O}_5$ (a, b) and $\text{SnO}_2/\text{Al}_2\text{O}_3/\text{Nb}_2\text{O}_5/\text{SiO}_2$ (c)(dipping method).

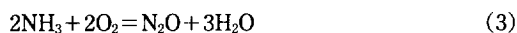
Table 1. Specific surface area of some samples

Sample	Surface area(m^2/g)
SnO_2	4.95
$\text{SnO}_2/\text{Al}_2\text{O}_3/\text{Nb}_2\text{O}_5$	21.96
$\text{SnO}_2/\text{Al}_2\text{O}_3/\text{Nb}_2\text{O}_5/\text{SiO}_2$	84.61

Table 1은 SiO_2 첨가 유무에 따른 각 시료의 표면적을 나타낸 것이다. 첨가물이 전혀 없는 SnO_2 는 $4.95 \text{ m}^2/\text{g}$ 으로 나타났지만 10 wt\% 의 $\alpha\text{-Al}_2\text{O}_3$ 와 1.0 wt\% 의 Nb_2O_5 가 첨가된 SnO_2 는 $21.96 \text{ m}^2/\text{g}$ 으로 나타났다. 그리고 침적법으로 SiO_2 가 첨가된 시료는 $84.61 \text{ m}^2/\text{g}$ 으로 SiO_2 가 첨가되지 않은 시료보다 4배나 크게 나타났다.

Fig. 4의 실험결과에서 보았듯이 $\text{SnO}_2/\text{Al}_2\text{O}_3/\text{Nb}_2\text{O}_5$ 소자상에 acetonitrile이 반응하여 NH_3 가 생성됨을 알 수 있었다. 생성된 NH_3 가 소자상에 어떻게 반응을 하는지를 알기 위하여 acetonitrile 대신에 NH_3 만을 cell 속에 넣어 반응결과를 적외선 스펙트라로 관찰하였다. SnO_2 를 모물질로 한 여러 가지 소자를 적외선 gas cell 내에 고정시킨 후 ammonia 20 torr와 공기 300 torr를 넣어 가열한 후 측정한 적외선 스펙트라를 Fig. 5에 나

타내었다. a는 SiO₂가 첨가되지 않은 SnO₂/Al₂O₃/Nb₂O₅ 소자상에서 300°C에서 1시간 가열한 후 측정한 것이다. 3414, 3334, 1624 및 964, 930(doublet) cm⁻¹에서 ammonia에 의해 나타나는 흡수 band 외에는 다른 흡수 band가 나타나지 않았다. 이것을 그대로 온도만 350°C로 높여 1시간 동안 가열한 후 측정한 적외선 스펙트럼이 b이다. 3450 및 1587 cm⁻¹ 부근에서 H₂O에 의해 나타나는 넓은 흡수 band를 관찰할 수 있고 2238, 2211(doublet) 및 1300, 1273(doublet) cm⁻¹에서 N₂O에 의해 나타나는 흡수 band를 관찰할 수 있다. 이것은 NH₃가 이 소자상에서 (3)식과 같은 산화반응이 일어나기 때문으로 생각된다.



c는 SiO₂가 첨가된 SnO₂/Al₂O₃/Nb₂O₅/SiO₂ 소자상에서 30분 동안 300°C로 가열한 후 측정한 적외선 스펙트라이다. 이 소자상에서도 다른 시료보다도 N₂O 및 H₂O에 의한 peak가 크게 나타나 있음을 알 수 있다. 특히 한 것은 Fig. 5의 a와 c를 비교하여 보면 알 수 있듯이 SiO₂가 첨가되지 않은 소자상(a)에서는 NH₃는 300°C에서 1시간 동안 조금도 반응이 일어나지 않았으며 더 높은 350°C에서 산화반응이 일어났다. 그러나 SiO₂가 첨가된 소자상(c)에서는 300°C에서 30분 이내에 NH₃가 대부분 산화되어 N₂O와 H₂O로 됨을 알 수 있었다.

Ammonia는 SiO₂ 첨가 유무에 상관없이 SnO₂/Al₂O₃/Nb₂O₅ 후막소자상에서 N₂O와 H₂O로 산화되지만 SiO₂의 첨가에 의해 산화온도가 낮아짐을 알 수 있다. 소자의 동작온도 300°C를 고려할 때 SiO₂가 첨가되지 않은 SnO₂/Al₂O₃/Nb₂O₅ 후막소자상에서는 그 동작온도에서 ammonia가 재산화되지 않기에 전기전도도가 감소하지 않으나 SiO₂가 첨가된 후막소자상에서는 전기전도도가 감소할 것이라는 것을 예상할 수 있다.

3-3. 침적법으로 제조한 감지소자의 전기적 특성

Fig. 6은 침적법으로 제조된 감지소자의 acetonitrile에 대한 감응특성을 Nb₂O₅의 첨가량에 따라 나타낸 것이다. 이 때 acetonitrile의 농도는 17 ppm이었으며, 동작온도는 300°C였다. 침적법으로 제조된 후막소자는 분말 첨가법이나 스팍터링법에 비해 큰 감도특성을 나타내었으며, Nb₂O₅의 첨가량이 1.0 wt%에서 22-35배의 큰 감응특성을 보였다. Nb₂O₅는 조총매로 Nb₂O₅의 양이 1.0 wt%보다 클 때 감도가 감소하는 것은 Nb₂O₅의 양이 증가하면 SiO₂ 양이 상대적으로 적어지므로 소자의 전기전도도에 영향을 미치기 때문으로 생각된다.

침적법으로 SiO₂를 첨가한 SnO₂/Al₂O₃/Nb₂O₅/SiO₂ 후막소자의 acetonitrile에 대한 감응특성을 Fig. 7에 나

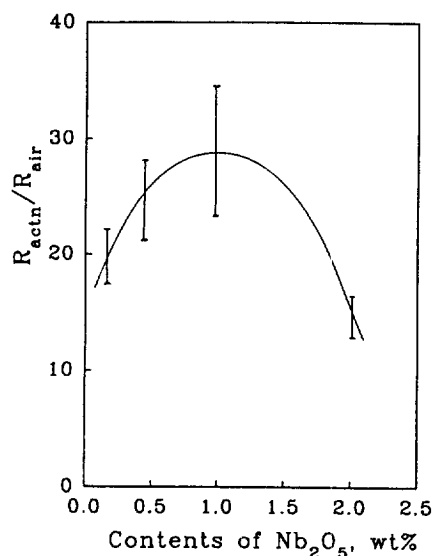


Fig. 6. Sensitivity of the SnO₂/Al₂O₃/Nb₂O₅/SiO₂(dipping method) thick film device with different amount of Nb₂O₅ at 300°C.

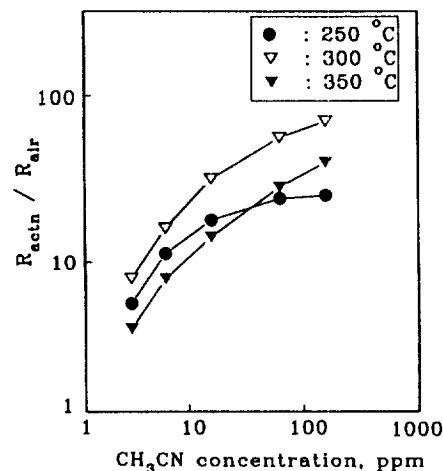


Fig. 7. Sensitivity of the SnO₂/Al₂O₃/Nb₂O₅/SiO₂(dipping method) thick film devices to CH₃CN at various operating temperatures.

타내었다. 동작온도 250, 300 및 350°C에서 acetonitrile 농도 5-220 ppm까지 측정하였다. 모든 측정 동작온도에서 acetonitrile의 농도가 증가할수록 저항비가 증가하는 부감응특성을 나타내었다. 또 동작온도 250°C보다도 300°C에서 저항비가 크게 향상되었으나 350°C에서는 오히려 300°C에서 보다 감소하였다. 이는 Fig. 4에서 나타난 바와 같이 동작온도에 따라서 CO₂와 H₂O

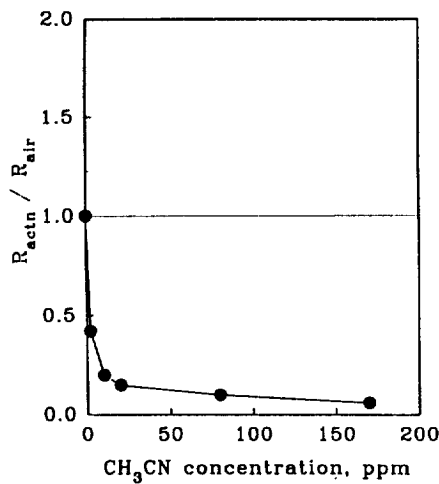


Fig. 8. Resistance characteristics of the $\text{SnO}_2/\text{Al}_2\text{O}_3/\text{Nb}_2\text{O}_5$ thick film devices to CH_3CN at 300°C .

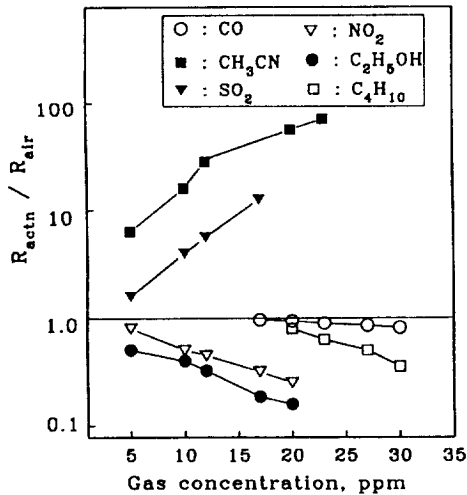


Fig. 9. Resistance characteristics of the $\text{SnO}_2/\text{Al}_2\text{O}_3/\text{Nb}_2\text{O}_5/\text{SiO}_2$ (dipping method) thick film devices to various gases at 300°C .

및 NO_x 의 상대적 생성량이 다르기 때문에, 즉 CO_2 와 H_2O 보다는 NO_x 의 양이 상대적으로 많이 생성되기 때문에 생성된 이들 화학종이 소자의 감지에 영향을 미치기 때문으로 생각된다.

Fig. 8은 SiO_2 가 첨가되지 않은 $\text{SnO}_2/\text{Al}_2\text{O}_3/\text{Nb}_2\text{O}_5$ 후막소자의 acetonitrile의 농도에 대한 감응특성을 동작온도 300°C 에서 측정한 결과이다. 저항비가 1보다 작은 정감응특성을 나타내고 있다. 이것은 acetonitrile의 산화에 의해 CO_2 와 H_2O 가 생성될 때 전도도 전자가 방

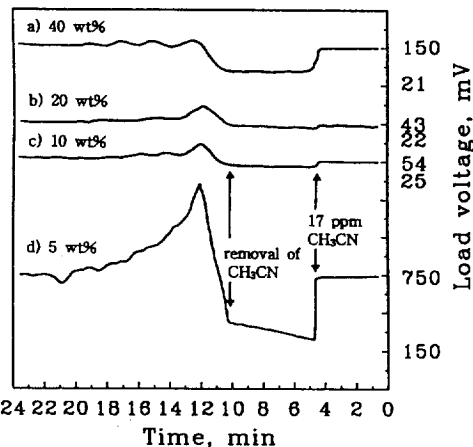


Fig. 10. Time response of $\text{SnO}_2/\text{Al}_2\text{O}_3/\text{Nb}_2\text{O}_5/\text{SiO}_2$ thick film devices with different SiO_2 content (powder method).

출되어 소자의 전기전도도를 증가시키는 요인으로 작용하기 때문이다. 그러나 Fig. 7에서 보는 바와 같이 SiO_2 가 첨가됨으로써 전기전도도가 감소하는 것은 전기전도도를 감소시키는 요인으로 작용하는 NO_x 의 생성량보다 전기전도도를 증가시키는 CO_2 와 H_2O 의 생성량이 상대적으로 많아서 생기는 결과로 생각된다.

Fig. 9는 동작온도 300°C 에서 침적법으로 SiO_2 를 첨가한 $\text{SnO}_2/\text{Al}_2\text{O}_3/\text{Nb}_2\text{O}_5/\text{SiO}_2$ 후막소자의 감응특성에 영향을 줄 수 있는 여러 가지 기체와 acetonitrile에 대한 감도를 비교한 것이다. CO , NO_2 , C_4H_{10} 및 $\text{C}_2\text{H}_5\text{OH}$ 등에 대해서는 저항이 감소하는 정감응특성을 나타내고 있다. 그러나 CH_3CN 이나 SO_2 에 대해서는 저항이 증가하는 부감응특성을 나타내고 있어 선택성이 아주 뛰어남을 알 수 있다.

종래의 SiO_2 가 첨가되지 않은 $\text{SnO}_2/\text{Al}_2\text{O}_3/\text{Nb}_2\text{O}_5$ 후막소자에서 CO 나 탄화수소 및 acetonitrile은 모두 전기전도도가 증가하는 정감응특성을 나타내었기에 감도의 정도만으로 선택성을 결정하였다. 그러나 SiO_2 가 첨가됨으로써 CO 나 탄화수소에 대해서는 전기전도도가 증가하는 정감응특성을 나타내고 acetonitrile에 대해서는 그 반대의 특성을 갖게 함으로써 상반되는 선택성을 나타내었다.

3-4. 분말 첨가법으로 제조한 감지소자의 전기적 특성

Fig. 10은 분말첨가법에 의한 SiO_2 의 첨가량에 따른 응답특성을 Y-t 기록계로 측정한 것이다. 5.0 wt%의 SiO_2 가 첨가된 감지소자는 acetonitrile 주입시 큰 저항증가

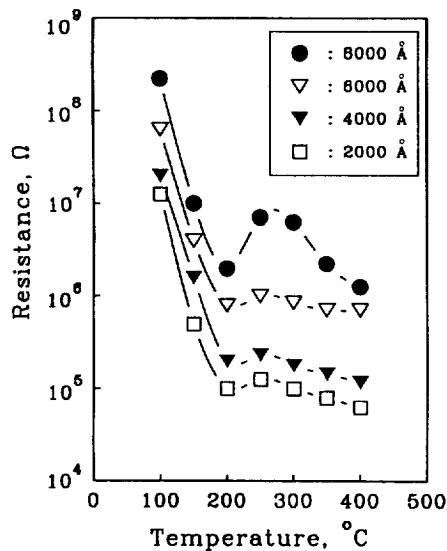


Fig. 11. Resistance versus temperature characteristics of $\text{SnO}_2/\text{Al}_2\text{O}_3/\text{Nb}_2\text{O}_5/\text{SiO}_2$ thick film devices with different SiO_2 thickness(sputtering method).

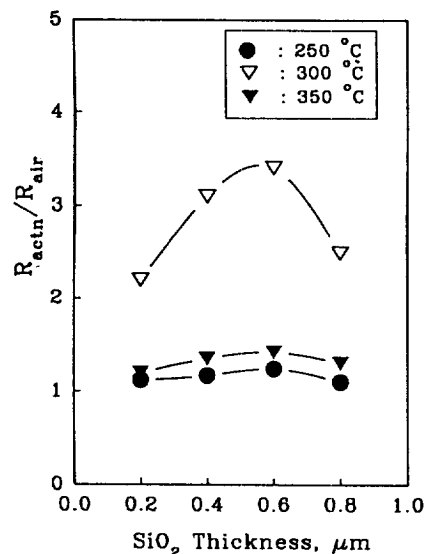


Fig. 12. Resistance characteristics of the $\text{SnO}_2/\text{Al}_2\text{O}_3/\text{Nb}_2\text{O}_5/\text{SiO}_2$ thick film devices with different SiO_2 thickness(sputtering method) at various operating temperatures.

현상을 보이나 포화상태에서 서서히 저항값이 감소하였다. 이는 후막표면에 소량의 SiO_2 가 존재하여 acetonitrile의 산화반응시 NO_x 뿐만 아니라 환원성 가스인 CO , NH_3 그리고 H_2O 등의 중간체도 많이 생성되어 감지 특성에 기여하여 간섭현상을 일으키기 때문이다. 이에 비해 SiO_2 의 첨가량이 10.0 wt%에서 안정한 부감응특성을 나타내는 것으로 보아 후막소자표면에서의 SiO_2 존재량은 10.0 wt%이어야 함을 알 수 있다. SiO_2 의 첨가량이 증가할수록 acetonitrile에 대한 저항증가현성이 감소하였다. 이는 SiO_2 의 첨가량이 증가함에 따라 소자의 공기중에서의 저항값인, R_{air} 가 높아져 acetonitrile의 흡착시에 적은 변화를 나타내는 것으로 생각된다. 감지소자의 응답시간은 수초 이내였으며, 회복시간은 10분 정도였다. 5.0 wt%의 SiO_2 가 첨가된 소자에서 회복시 원래 저항값보다 더 낮은 저항값으로 떨어졌다가 원래 저항값으로 회귀되는 응답특성을 나타내었다. 이는 피검가스가 탈착할 때 흡착종으로 생성된 H_2O , NH_3 및 CO 등의 환원성 가스 등에 기인하기 때문이다.

3-5. 스퍼터링법으로 제조한 감지소자의 전기적 특성

Fig. 11은 SiO_2 의 두께에 따른 감지소자의 저항-온도 특성을 나타낸 것이다. SiO_2 의 막 두께가 증가할수록 저항이 크게 증가하였으며, 200-300°C에서 정저항특성(positive temperature coefficient)을 나타내었다. 이는 SiO_2 층의 아래에 있는 SnO_2 의 전기적 특성에 의한 것

으로 생각된다. 즉 200-300°C에서 정저항특성이 나타나는 것은 소자의 온도가 상승함에 따라 격자의 열진동과 입자에 의한 전자 산란의 결과 때문이다[19].

Fig. 12는 acetonitrile 17 ppm에 대한 감도특성을 SiO_2 두께에 따라 나타낸 것이다. SiO_2 의 두께가 증가할수록 감도가 증가하여 0.6 μm에서 3.2배 정도의 저항증가를 나타내었으며, 그 이상의 두께에서는 감소하였다. 이는 SiO_2 양이 상대적으로 많아져서 피검가스가 SnO_2 와 접촉할 수 있는 표면이 감소하기 때문으로 생각된다. 그리고 최대 감도를 나타내는 동작온도는 300°C였다.

4. 결 론

본 연구에서는 $\text{SnO}_2/\text{Al}_2\text{O}_3/\text{Nb}_2\text{O}_5$ 후막소자에 침적법, 분말첨가법, sputtering법으로 SiO_2 를 첨가하여 유해gas인 acetonitrile에 대하여 부감응특성을 나타내는 새로운 감지소자를 제조하였다. 이 중에서 tetraethyl orthosilicate 용액에 침적하여 제조된 소자가 가장 좋은 감도와 선택성을 나타내었다. SiO_2 가 첨가됨으로써 표면적은 약 4배가 증가하였으며, 제조된 후막소자상에서 acetonitrile의 산화반응 생성물은 CO_2 , H_2O , N_2O , HNO_3 및 HNO_2 였다. 첨가된 SiO_2 는 산화시 중간체인 CO 보다 산화성 gas인 질소화합물을 많이 생성하게 하였으며 이들이 소자표면에 민감하게 반응함으로 큰 저항 증가현상을 나타내어 부감응특성을 나타내었다. 본 소자의 Nb_2 -

O_3 의 최적 첨가량은 1.0 wt%였으며, 최적 동작온도는 300°C였다. 그리고 이 동작온도에서 17 ppm의 acetonitrile에 대해 저항비는 22-35로 나타난 큰 선택성을 보였다.

참고문헌

- Mokwa, W., Kohl, D. and Heiland, G.: *Sensors and Actuators*, **8**, 101(1986).
- Eguchi, K., Cauhane, J. S., Lucat, C. and Videau, J. J.: *Sensors and Actuators*, **17**, 319(1989).
- Weixing, Z. and Lingjuan, Z.: *Sensors and Actuators*, **19**, 117(1989).
- Schierbaum, K. D. et al.: *Sensors and Actuators*, **1**, 171(1989).
- Coles, G. S. V. and Williams, G.: *Sensors and Actuators*, **3**, 7(1991).
- Anderson, J. R. and Boudact, M.: "Catalysis Science and Technology" 3, Springer Verlag, Berlin Heidelberg, New York(1982).
- Sales, B. C. et al.: *Surf. Sci.*, **112**, 272 (1981).
- Yamazoe, N., Kurokawa, Y. and Seiyama, T.: *Sensors and Actuators*, **4**, 283(1991).
- Coles, G. S. V., Bond, S. E. and Williams, G.: *Sensors and Actuators B*, **4**, 485(1991).
- Nanto, H., Sokooshi, H. and Usuda, T.: *Transducers*, **91**, 596(1991).
- Yasunaga, S., Sunahara, S. and Ihokura, K.: *Transducers*, **85**, 393(1985).
- Moon, S. M.: "Chemical Product Dictionary", 한국사전연구원, p. 858.
- Park, H. D., Jo, S. G., Sohn, J. R. and Lee, D. D.: *J. Korean Sensors Society*, **1**, 107(1992).
- Cho, S. G., Park, H. D., Lee, D. D. and Sohn, J. R.: *J. Korean Inst. Chem. Eng.*, **31**, in press(1993).
- Knoezinger, H. and Krietenbrink, H.: *J. Chem. Soc. Faraday Trans. I*, **71**, 2421(1975).
- Choi, K. H. and Lee, H. I.: *Chokmae*, **8**, 22(1992).
- Nyquist, R. A. and Kagel, R. O.: "Infrared Spectra of Inorganic Compounds", Academic Press, New York and London(1971).
- Foster, D. S. and Lesline, S. E.: *Encyclopedia of Industrial Chemical Analysis*, Interscience Ltd. New York, London, Sydney, Toronto(1978).
- Raccanelli, A. and Maddalena, A.: *J. Am. Ceram. Soc.*, **59**, 425(1976).